## 硅和苯并噻二唑诱导烟草抗青枯病的机理分析

李盼盼1,丁 伟\*1,2,刘秋萍1,王 丹1,王瑢笙1,喻 延1,张永强1,2

- 1. 西南大学植物保护学院,重庆市北碚区天生路2号 400715
- 2. 重庆烟草科学研究所,重庆市北碚区天生路2号 400715

摘要:为了揭示叶面喷施矿质元素硅(Silicon,Si)和植物诱抗剂苯并噻二唑(Benzothiadiazole,BTH)对烟草抗青枯病的影响机制,分析测定了Si和BTH处理后烟株根系青枯病菌及根茎叶的硅含量(质量分数)、叶片防御酶系活性、叶片抗性相关基因的表达量,以及室内、田间烟草青枯病发病情况。结果表明,Si和BTH处理后的烟草根系青枯病菌含量[log(CFU)/g]均显著降低,且Si处理能够显著增加烟草根系的硅含量;Si和BTH处理后烟株叶片中的防御酶系活性均增强,其中Si处理可显著提高过氧化物酶(POD)与 $\beta$ -1,3-葡聚糖酶(GLU)的活性,BTH处理能显著增强 $\beta$ -1,3-葡聚糖酶(GLU)、多酚氧化酶(PPO)、苯丙氨酸解氨酶(PAL)的活性;Si和BTH处理对烟草抗性基因的表达量也有显著影响,EFE26、ACC Oxidase、HINI和PR2的表达量均显著提高,其中BTH处理后PRI、PR1a/c、EFE26、ACC Oxidase和HINI的表达量显著高于Si处理,而Si可显著提高PR2的表达量,且显著高于BTH处理。Si是通过烟草根系硅含量的积累来抵抗青枯病菌的侵染,BTH则是以抗性相关基因表达量的显著提高来诱导烟草对青枯病的抗性。由此可见,叶面施用Si和BTH是以不同的途径诱导烟草抵抗青枯病。

关键词:苯并噻二唑;硅;烟草青枯病;防御酶系;抗性相关基因

中图分类号:S48 文献标志码:A 文章编号:1002-0861(2016)07-0023-08

## Mechanism of silicon and BTH-induced resistance to tobacco bacterial wilt

LI Panpan<sup>1</sup>, DING Wei<sup>\*1,2</sup>, LIU Qiuping<sup>1</sup>, WANG Dan<sup>1</sup>, WANG Rongsheng<sup>1</sup>, YU Yan<sup>1</sup>, ZHANG Yongqiang<sup>1,2</sup>

- 1. College of Plant Protection, Southwest University, Chongging 400715, China
- 2. Chongqing Tobacco Science Research Institute, Chongqing 400715, China

Abstract: To evaluate the effects of foliar spraying of two inducers (mineral elemental silicon, Si; plant elicitor benzothiadiazole, BTH) on tobacco bacterial wilt, the content of tobacco bacteria wilt pathogen in tobacco roots, the Si contents in tobacco roots, stalks and leaves, the activity of defense enzymes and the expressions of resistance genes in tobacco leaves and the incidence of tobacco bacteria wilt in laboratory and fields were analyzed after Si and BTH treatments. The results showed that the content of tobacco bacteria wilt pathogen in roots was significantly reduced by Si and BTH, and the Si content in the roots was significantly increased by the Si treatment. The activities of defense enzymes in leaves were also enhanced by the Si and BTH treatments, in which the activities of peroxidase (POD) and β–1,3–glucanase (GLU) were significantly promoted by the Si treatment, as did those of GLU, polyphenol oxidase (PPO) and phenylalanine ammonialyase (PAL) by BTH. The expressions of resistance genes (EFE26, ACC Oxidase, HIN1 and PR2) in tobacco were significantly increased by

收稿日期: 2015-12-07 修回日期: 2016-01-22

基金项目:中国烟草总公司重点项目"茄青枯病菌与烟草互作分子机制及其调控技术研究"(110201202002);中国烟草总公司重庆市公司重点项目"烟草根茎病害系统控制技术集成与示范应用"(NY 20130501070005)。

**作者简介:** 李盼盼(1990—),在读硕士研究生,研究方向:天然产物农药。E-mail:1032688202@qq.com;\*通讯作者:丁伟,E-mail: dwing818@163.com。

引文格式:李盼盼,丁伟,刘秋萍,等. 硅和苯并噻二唑诱导烟草抗青枯病的机理分析[J]. 烟草科技,2016,49(7):23-30.(LI Panpan, DING Wei, LIU Qiuping, et al. Mechanism of silicon and BTH-induced resistance to tobacco bacterial wilt[J]. Tobacco Science & Technology, 2016,49(7):23-30.) DOI:10.16135/j.issn1002-0861.20160704

both procedures, the expressions of *PR1*, *PR1a/c*, *EFE26*, *ACC Oxidase* and *HIN1* were significantly higher in tobacco treated with BTH; while the expression of *PR2* was significantly higher in tobacco treated with the Si treatment. Si induced the resistance to tobacco bacterial wilt through enhancing the Si accumulation in tobacco roots, as did BTH through promoting the expressions of resistance-related genes. In summary, this study demonstrated that foliar application of Si and BTH induced the resistance to tobacco bacterial wilt in tobacco in two different mechanisms.

Keywords: Benzothiadiazole; Si; Tobacco bacterial wilt; Defense enzyme; Resistance-related gene

烟草青枯病是由青枯雷尔氏菌(Ralstonia solanacearum)引起的一种典型的植物维管束病 害,广泛分布于热带、亚热带及某些温带产区,其 寄主植物、致病力强弱及发病条件日趋多样化,并 且已经有从低纬度低海拔温热地区向高纬度高海 拔冷凉地区逐步蔓延的趋势[1-2]。目前从化学药 剂、生物防治、改善耕作制度及抗病育种等方面已 开展了大量研究,但生产上采取的各种青枯病防 治措施均存在着一定的不足及局限性[3-4]。为此, 探索环保、有效的青枯病防控措施刻不容缓。苯 并噻二唑(Benzothiadiazole, BTH)本身及其在植物 体内的代谢产物均无杀菌活性,但能够影响病原 菌生活史中的多个环节。BTH可改变植株的生理 生化途径,同时激活植物体内的抗病因子,从而诱 导植物对病原物的抗性[5]。BTH不仅可以通过模 拟SA对信号起转导作用,而且还可通过改变过氧 化物酶(POD)、苯丙氨酸解氨酶(PAL)和β-1,3-葡聚糖酶(GLU)等活性及PR基因的表达产生PRP (病程相关蛋白)来诱导植物产生抗性[6-7]。王涛 等回研究提出,施用BTH可降低烟叶青枯病病情 指数,同时激活烟草体内防御酶系的活性。Soylu 等[7]研究表明,BTH处理除了诱导抗病性外,还能 导致POD、PAL和GLU等活性发生变化,并且能诱 导PR基因的表达产生PRP。Kohler等[8]研究指 出,BTH 预处理不仅极大地增强了 PAL 基因的表 达,而且也增加了胼胝质(胼胝质是一种以β-1,3 键结合的葡聚糖)含量。BTH 可诱导砂糖橘CHI 的活性,诱导烟草PAL的活性,以及增强黄瓜和番 茄POD、PPO、PAL和GLU的活性[9],进而增强植 物对青枯病的抗病能力。Lawton等[10]研究认为, BTH 在拟南芥 Arabidopsis thaliana 中通过激活 SAR 起作用,BTH激活SAR途径是独立于乙烯和茉莉 酸甲酯途径的。硅(Silicon,Si)主要积累于植物根 系,在茎和叶中积累较少,根系硅含量与青枯病菌 的数量成负相关。Si可在叶片细胞壁上产生诱导 抗性[11]。Kim等[12]试验认为Si 沉积形成角质-硅 双层,使组织硅质化,进而形成机械障碍,阻碍病 原菌的侵入和扩散。Dannon等[11]研究指出,番茄 通过增施Si可显著降低青枯病的发病率,Si处理 同时可诱导番茄产生抗青枯病的能力。 Kurabachew 等[13]研究表明, Si 处理后植物发病程 度的降低归因于相关防御酶系活性的增加,如 POD和PAL,这些酶在调节抗真菌化合物的产生 和累积方面起着重要作用,如酚类代谢产物(木质 素、抗毒素、病程相关蛋白)在感染青枯病的番茄 上增加了相关抗性基因的表达。Kiirika等[14]研究 得出,Si和甲壳素联合处理后,涉及植物逆境反应 的几丁质酶(CHT)和POD等防御酶系活性大幅度 上调。以上研究发现植株的抗病水平与其防卫机 制密切相关,关于Si、BTH与植株(番茄、水稻、拟 南芥等)青枯病关系的研究相对较多,但有关在病 原菌存在条件下Si和BTH如何降低烟草青枯病病 害严重度,以及抗烟草青枯病的作用机理尚不清 楚。为此,从诱导抗性角度出发,通过诱导调控措 施达到防控烟草青枯病的目的[15],并从植物相关 防御酶系活性、硅含量及相关防御基因的表达量 方面探索其作用机理,旨在为烟草青枯病的有效 防治提供依据。

## 1 材料与方法

#### 1.1 供试材料

供试诱导剂:天然活性硅(有效成分为H<sub>4</sub>SiO<sub>4</sub>, 美国太瑞国际科技有限公司);苯并噻二唑(Benzothiadiazole,美国Sigma公司)。

供试烟草品种为云烟97,低抗烟草青枯病。烟苗来自西南大学植物保护学院天然产物农药实验室育苗基地,烟苗在昼夜温度为26°C/20°C,光周期为14 h光照/10 h黑暗的温室条件下培育。在烟草青枯病的病株残体上分离、鉴定所得的青枯雷尔氏菌(*Ralstonia solanacearum*)由本实验室采自重庆市彭水润溪乡试验田。采用上海昕瑞仪器仪表有限公司WGZ-2-XJ细菌浊度计确定菌液浓度(约10° cfu/mL)[15]。

#### 1.2 试验方法

## 1.2.1 温室试验

试验于2015年3~7月进行。共设置3个处

理,每处理10株烟苗,培养到四叶一心时进行诱 导剂处理。共喷施两次,每次间隔1d。处理1: BTH(1.0 mmol/L),全株喷施 BTH 溶液 20 mL,以叶 面全部湿润为准;处理2:Si(2.3 mmol/L),全株均 匀喷施 Si 溶液 20 mL,以叶面全部湿润为准;处理 3:对照(CK),全株均匀喷施超纯水,以叶面全部 湿润为准。喷施1 d后灌根青枯病菌,每株烟苗接 种青枯病菌 10 mL(约 lxl0<sup>8</sup> cfu/mL), 置于人工气候 箱中培养。

## 1.2.1.1 烟株根系青枯病菌含量的测定

接种后第3、5、7天,每个处理随机抽取3株烟 株根系进行青枯病菌含量的测定,除去烟株根系 培养基质和地上部分,用蒸馏水洗净并用吸水纸 吸干烟株根系表面的水分后,得到干净、完整的烟 株根系,准确称取根系质量并记录。在装有75% 乙醇的培养皿中浸泡烟株根系消毒 15 min。消毒 后冲洗5~6次,吸干水分后于灭菌研钵中充分研 磨烟株根系。取灭菌水10 mL加入研磨研钵中与 烟株根系研磨物充分混匀,静置5 min 吸取上清液 1 mL,即为烟株根系含菌悬浮液(菌悬液)。对菌 悬液进行10-1、10-2、10-3和10-4的梯度稀释,并取菌 悬液稀释液 0.1 mL均匀涂布在 NA 培养基(牛肉浸 膏 3.0 g, 酵母浸膏 1.0 g, 蛋白胨 5.0g, 葡萄糖 10.0 g, 琼脂 20.0 g, 蒸馏水 1 000 mL, pH 6.8~7.2; 121 °C 灭菌 15 min,每 100 mL加入 150 μL TTC)平 板上,每个浓度重复3次,30℃培养48 h后,记录 青枯病菌的菌落数,计算不同稀释梯度下菌悬液 中青枯病菌数量,并计算根系青枯病菌含量[log (CFU)/g

#### 1.2.1.2 烟草根茎叶中硅含量的测定

接菌后1、3和5d,取烟草的根茎叶在120℃ 烘箱中烘干4h,再分别取烘干的各部位烟草样品 10 mg 测定硅含量(质量分数)。取 10 mg 研磨材 料放入 1.5 mL 离心管中,参照 Novozamsky 等[16]的 方法测定硅含量,在波长811 nm 处测定吸光度 (OD值),以吸光度为纵坐标,Si浓度为横坐标,得 标准曲线。

#### 1.2.1.3 Si和BTH处理烟草防御酶系指标的测定

接菌后1、2、3、4和5d,取处理后的烟株相同 部位烟叶,用于防御酶系活性的测定。参考阚光 锋等[17]的方法测定POD活性;参考李鑫等[18]的方 法测定 PPO 活性;参考郑世燕等[15]的方法测定 PAL活性;参考张国良等[19]的方法测定 CHT 和 GLU活性。

#### 1.2.1.4 烟草相关防御基因表达量的测定

接菌后3d,取烟草同一部位叶片样品迅速用

液氮保存进行RNA提取和基因表达分析。总 RNA 用常规的 TRIzol 方法提取并纯化。PCR 反应 条件参考刘爱荣等[21]的方法。计算内标为烟草中 EF1α基因的荧光值,参照 Livak 等[22]的  $2^{-\Delta\Delta C(T)}$  法 计算基因相对表达水平,重复3次。参考Dang等 [20]的方法扩增基因的特异引物序列。

## 1.2.1.5 烟草室内控病效果的检测

试验处理同上,重复3次。室内病情调查:青 枯病菌在接种到烟草幼苗后,对烟草的发病情况 每天进行观察。在烟草上发现青枯病萎蔫症状 后,参考国家标准GB/23222-2008<sup>[23]</sup>每两天在同 一时间调查烟株发病情况1次,对照所有烟株基 本枯死时调查结束。室内烟苗青枯病病情分级标 准参考郑世燕等[15]的方法,并计算发病率、病情指 数和防治效果。

发病率 = 病株数 / 调查株数 ×100% 病情指数 = (发病株数×该病级代表值)/调查 总株数×最高级代表值×100

防治效果 = (对照病情指数-处理病情指数)/ 对照病情指数 ×100%

#### 1.2.2 田间试验

试验于2015年5~8月进行。共设3个处理, 各处理重复3次,共9个小区,每小区75株,不接 种青枯雷尔氏菌,田间随机区组排列,四周设有保 护行。处理1:BTH(1.0 mmol/L),全株喷施BTH溶 液 200 mL; 处理 2: Si(2.3 mmol/L), 全株均匀喷施 Si 溶液 200 mL; 处理 3: 对照(CK), 全株均匀喷施 超纯水。3个处理均在烟苗移栽还苗后、团棵期和 旺长期各喷施1次,共喷施3次,喷施均以叶面全

根据国家标准 GB/23222—2008<sup>[23]</sup>进行烟草青 枯病发病情况调查,取样方法采用"对角线五点 法",每点挂牌调查10株,在烟田出现烟草青枯病 时,对各小区青枯病的发病情况开始调查,每隔5 d调查 1次,共调查6次,并计算各处理小区的发 病率、病情指数和防治效果。

#### 1.3 数据处理

采用 Excel 2013 进行试验数据处理,同时计算 烟草青枯病的发病率及各相关防御酶系的活性, 然后采用SPSS17.0 统计软件用 Duncan 法进行差异 显著性检验,并采用Origin9软件绘图。

## 2 结果与分析

#### 2.1 诱导剂处理对烟株根系青枯病菌含量的影响

Si和BTH处理并接菌后,烟株根系菌含量呈 现逐渐积累的趋势,但其中BTH处理对烟株根系

菌含量增加的抑制效果最明显,见表1。接种病原菌后第7天BTH处理烟株根系的青枯病菌含量与其他处理差异显著;Si处理烟株根系的青枯病菌含量与BTH处理及对照间差异显著。

表 1 Si和BTH处理的烟株根系青枯病菌含量比较<sup>①</sup>
Tab.1 Contents of tobacco bacterial wilt pathogen in tobacco roots after Si and BTH treatments

 $\lceil \log(\text{CFU}) \cdot g^{-1} \rceil$ 

|  |     |                            |                            | [log(GIC) g ] |
|--|-----|----------------------------|----------------------------|---------------|
|  | 处理  | 接种病                        | 接种病                        | 接种病           |
|  |     | 原菌后3 d                     | 原菌后5 d                     | 原菌后7 d        |
|  | CK  | 6.13±0.98a                 | 6.86±0.45a                 | 8.03±0.90a    |
|  | BTH | $5.74 \pm 0.81 \mathrm{b}$ | $6.38 \pm 0.38 \mathrm{b}$ | 6.87±0.33c    |
|  | Si  | 5.89±0.76b                 | 6.69±0.63a                 | 7.11±0.62b    |

注:①数据后带有不同小写字母者表示处理间差异达到 *P*<0.05 显著水平。下同。

#### 2.2 诱导剂处理对烟草不同部位硅含量的影响

施用不同诱导剂处理结果(表2)表明,茎中各处理间及接种病原菌后1~5d内硅含量差异不显著,叶中硅含量在各处理间及接种病原菌后1~5d内差异不显著。根系硅含量在接种病原菌后1~5d内各处理均呈现逐渐增加的趋势,且Si处理接种病原菌后第3天及第5天与第1天间存在显著差异,其他两处理接种病原菌后1~5d内差异

表 2 Si和BTH 处理烟草根茎叶硅含量的比较<sup>®</sup>
Tab.2 Contents of Si in tobacco roots, stalks and leaves after Si and BTH treatments

 $(\, mg \boldsymbol{\cdot} g DW^{\scriptscriptstyle -1}\,)$ 

|      |              | 茎            |              |
|------|--------------|--------------|--------------|
| 处理 一 | 接种病<br>原菌后1d | 接种病<br>原菌后3d | 接种病<br>原菌后5d |
| CK   | 3.41±0.04aA  | 3.20±0.32aA  | 3.49±0.22aA  |
| BTH  | 3.26±0.13aA  | 3.22±0.43aA  | 3.56±0.14aAB |
| Si   | 3.33±0.21aA  | 3.44±0.23aA  | 3.14±0.02aA  |
|      |              | 叶            |              |
| 处理   | 接种病<br>原菌后1d | 接种病<br>原菌后3d | 接种病<br>原菌后5d |
| CK   | 3.03±0.18aA  | 2.90±0.11aA  | 3.14±0.29aA  |
| BTH  | 3.38±0.01aA  | 3.03±0.13aA  | 3.26±0.32aA  |
| Si   | 3.63±0.22aA  | 3.33±0.27aA  | 3.44±0.15aA  |
|      |              | 根系           |              |
| 处理   | 接种病<br>原菌后1d | 接种病<br>原菌后3d | 接种病<br>原菌后5d |
| CK   | 3.11±0.14aA  | 4.51±0.12aAB | 5.08±0.02aAB |
| BTH  | 2.92±0.23aA  | 4.23±0.43aAB | 4.82±0.28aAB |
| Si   | 3.15±0.08aA  | 6.53±0.03bB  | 7.63±0.16bB  |

注:①小写字母表示垂直方向比较,大写字母表示水平方向的比较;数据后带有不同字母者表示处理间差异达到 P<0.05 显著水平。

不显著;根系硅含量在接种病原菌后第1天各处理间差异不显著,Si处理接种病原菌后第3天烟株根系硅含量比接种病原菌后第1天提高2.07倍,接种病原菌后第5天比第3天提高1.17倍,与BTH和对照间差异显著;BTH处理接种病原菌后第3天烟株根系硅含量比接种病原菌后第1天提高1.45倍,接种病原菌后第5天比第3天提高1.14倍,与Si处理间差异显著,但与对照间差异不显著;对照接种病原菌后第3天烟株根系硅含量比第1天提高1.45倍,第5天比第3天提高1.03倍,与Si处理间差异显著,但与BTH处理间差异不显著。

# 2.3 诱导剂处理对烟草叶片中防御酶系活性的影响

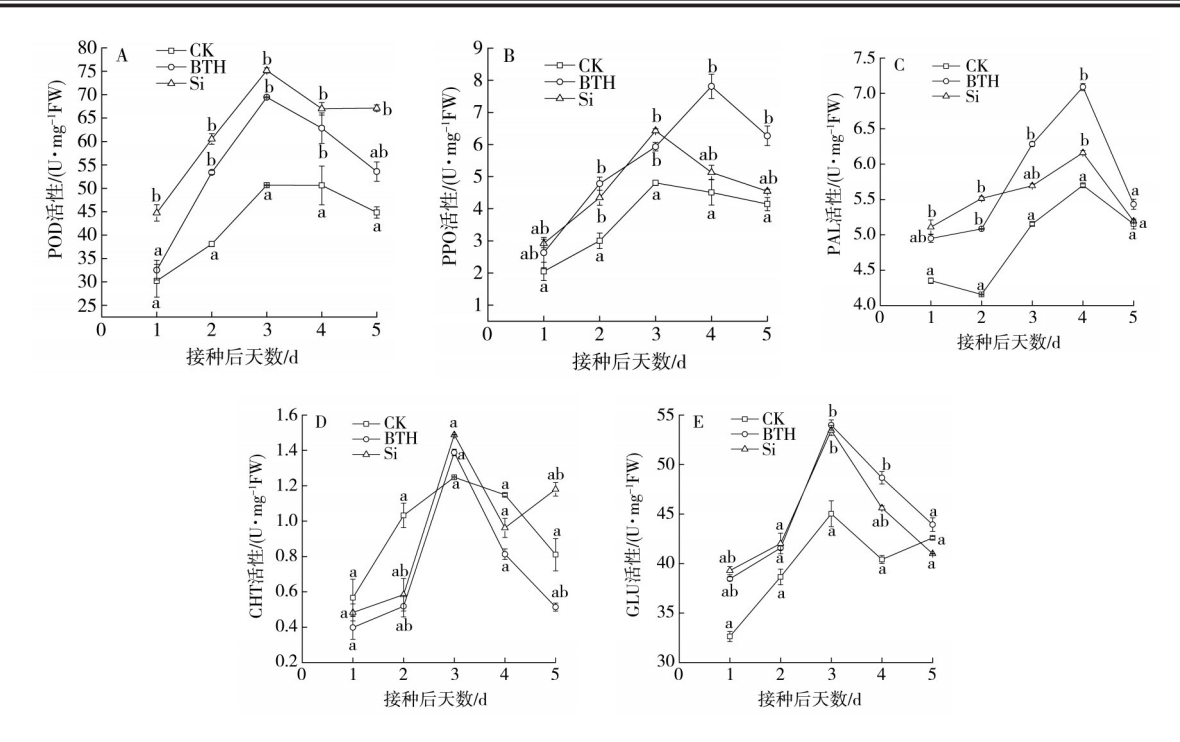
烟叶喷施 Si 和 BTH 处理感染青枯病菌烟草体内 POD 的活性均显著提高且在接种病原菌后第 3 天达到峰值,呈现先上升后下降的趋势。 Si 和 BTH 二者相比,其中 Si 处理 POD 活性最高,并在接种病原菌后第 3 天 Si 和 BTH 处理与对照相比分别提高 1.48 和 1.37 倍,两处理间差异不显著,但两者与对照间差异显著(图 1A)。

烟叶喷施 Si 和 BTH 处理可不同程度地促进感染青枯病菌烟草体内 PPO 活性的增强,且 Si 和 BTH 处理均呈现先上升后下降的趋势。BTH 处理 PPO 活性在接种病原菌后第 4 天最高,比对照增加 1.63 倍,与对照间差异显著;Si 处理 PPO 活性在接种病原菌后第 3 天最高,比对照提高 1.34 倍,与对照间差异显著;Si 和 BTH 处理间差异不显著(图 1B)。

烟叶喷施 BTH 和 Si 处理后,烟草体内 PAL活性均有一定程度提高,且在接种病原菌后第 4 天达到峰值,呈现先上升后下降的趋势。BTH 处理接种病原菌后第 4 天 PAL活性比对照提高 1.22倍,与对照间差异显著; Si 处理比对照增加 1.11倍,且与对照间差异显著(图 1C)。

烟叶喷施 Si 和 BTH 处理后,对烟草体内 CHT 活性均有一定程度的影响,且在接种病原菌后第 3 天达到峰值,呈现先上升后下降的趋势。Si 和 BTH 处理接种病原菌后 CHT 活性比对照分别提高 1.19 和 1.11 倍,但三者间差异不显著(图 1D)。

烟叶喷施 Si 和 BTH 处理后,烟草体内 GLU 活性均有一定程度的提高,且在接种病原菌后第3 天达到峰值,呈现先上升后下降的趋势,且 Si 和 BTH 处理比对照分别提高了1.18 和1.20 倍,两处理间差异不显著,但与对照间差异显著(图1E)。



同列不同小写字母表示处理间差异达到P<0.05显著水平,下同

图1 Si和BTH处理的烟草防御酶系活性比较

Fig.1 Activities of tobacco defense enzymes after Si and BTH treatments

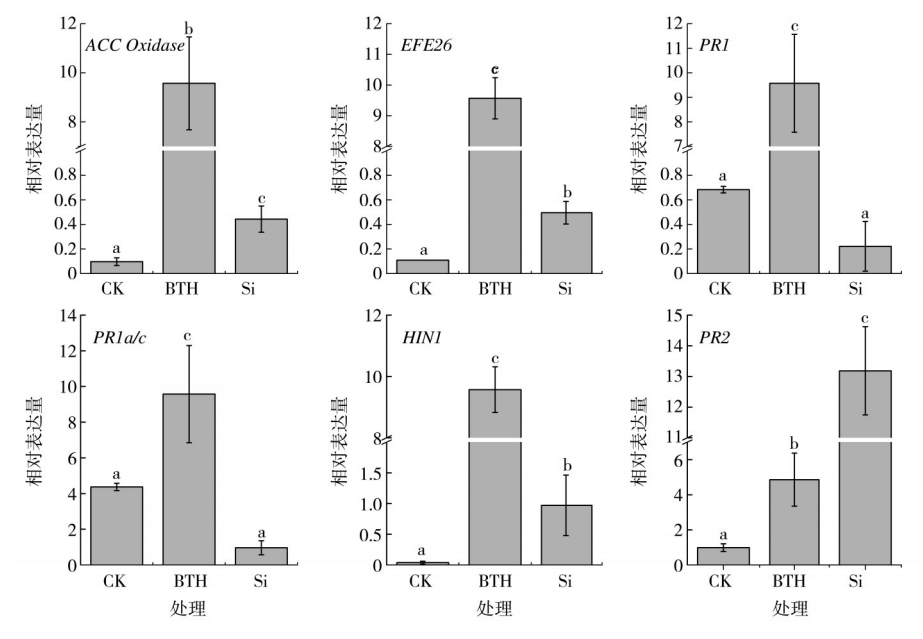
### 2.4 诱导剂处理对烟草抗性基因表达量的影响

取喷施诱导剂并接种青枯病菌 3 d后的烟草叶片抗性基因的表达量见图 2。BTH 处理叶片中SA 途径的 PRI 基因和 PRIalc 基因、ET 途径的EFE26基因和ACC Oxidase 基因以及 HR的 HINI 基因的表达量均显著高于Si 处理和对照;Si 处理叶片中SA 途径的 PR2 基因的表达量显著高于BTH

处理和对照。

#### 2.5 诱导剂处理对烟草室内发病率的影响

在一定程度上, 喷施不同诱导剂均可有效减轻烟草青枯病发生的严重度(图3)。BTH处理发病率最低, 其次为Si处理。在接种病原菌后第20天, Si和BTH处理烟草青枯病的发病率分别为40%和30%, 分别比对照降低40%和70%。喷施两



柱状图上带有不同小写字母着表示处理间差异达到P<0.05 显著水平

图 2 Si和BTH处理的烟草叶片抗性基因表达量比较

Fig.2 Expressions of tobacco resistance genes after Si and BTH treatments

种诱导剂对烟草青枯病均有一定的控病效果,且两者间差异显著,对青枯病控病效果较好的诱导剂为BTH,Si理次之。

#### 2.6 诱导剂处理对大田烟草发病率的影响

对处理区烟草青枯病发病情况进行调查,发现喷施Si和BTH均可降低烟草青枯病的田间发病率和病情指数。田间试验结果(图4)表明,青枯病发病最重的为对照区,与Si和BTH处理间存在显

著差异;青枯病发病最轻的为BTH处理,Si处理次之,两处理间存在显著差异,在8月8日调查Si和BTH处理烟草青枯病的发病率分别为60%和46.67%,比对照分别降低13.33%和26.66%。喷施不同诱导剂对烟草青枯病均有一定的控病效果,且差异显著,对青枯病控病效果最好的为BTH处理,Si处理次之,Si和BTH对烟草青枯病的最好控病效果分别为40.00%和66.67%。

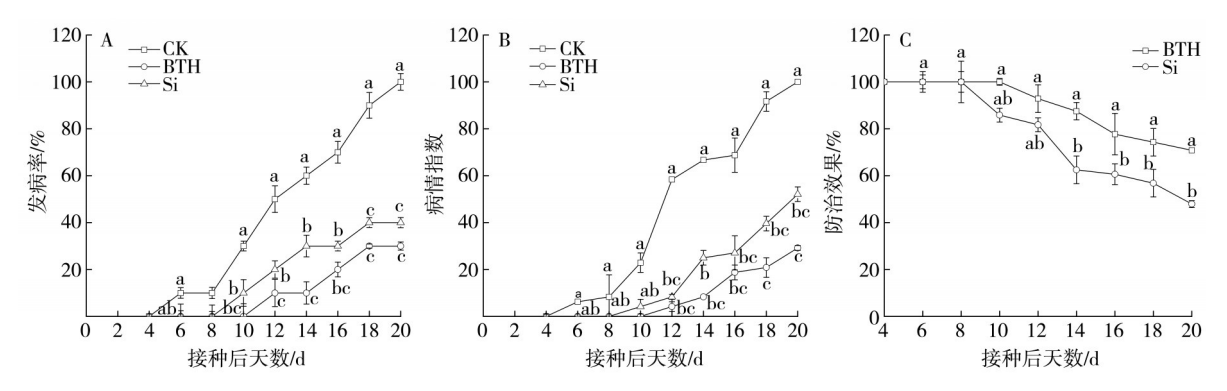


图3 Si和BTH处理的烟草室内发病情况比较

Fig.3 Incidences of tobacco bacteria wilt in laboratory after Si and BTH treatments

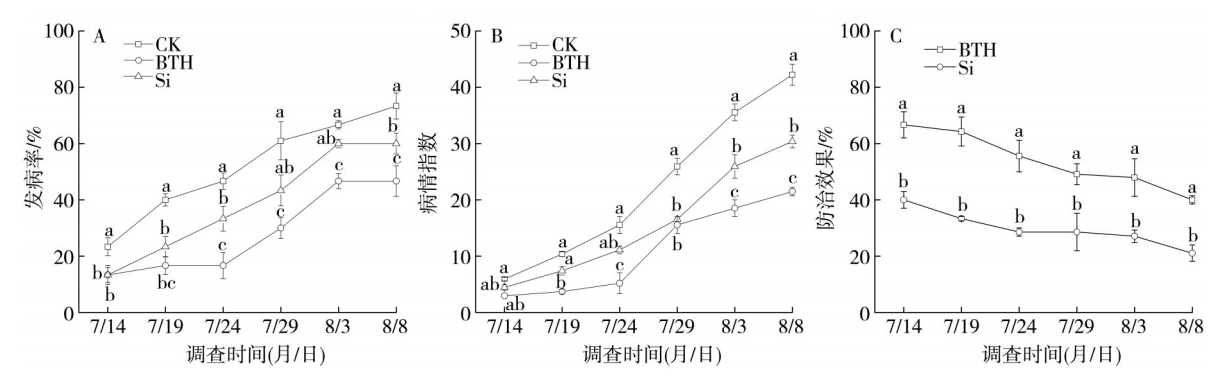


图 4 Si和BTH 处理的田间青枯病发病情况比较

Fig.4 Incidences of tobacco bacteria wilt in fields after Si and BTH treatments

## 3 结论与讨论

没有直接抑菌效果的 Si 和 BTH 单施于烟株上对烟草青枯病的发生有显著的减缓作用。Si 和 BTH 处理均能显著提高烟草对青枯病的控制效果,其中 BTH 控病效果显著;在青枯病发病严重的烟田喷施 Si 和 BTH 可较有效控制烟草青枯病的发生;Si 和 BTH 处理可显著提高感染青枯病烟株体内 POD、PPO、PAL、CHT 和 GLU 活性,并显著降低病原菌含量,抗性相关基因 PRI、PRIalc、HINI、ACC Oxidase、EFE26 和 PR2 的表达量也显著提高;Si 处理还显著提高感染青枯病烟草根系硅含量。Si 和 BTH 控制烟草青枯病的可能原因:

(1)在接菌后,BTH处理可有效地控制烟草青枯病的发生,在烟株发病初期可显著提高烟株体内POD、PPO、PAL、CHT和GLU活性,POD活性的显著提高促使木质素和植保素的合成,从而提高烟株抵抗病原菌侵入的能力;PAL能增加胼胝质的量,同时与木质素的累积呈正相关;PPO能将酚类物质氧化成对病原物有毒的醌类物质,抵抗病菌的入侵主要是通过可催化木质素及其他酚类氧化产物的生成进而形成保护性屏蔽;CHT对细菌的毒害作用是对细胞壁的肽聚糖进行分解,同时对转葡糖基反应进行催化;GLU多与CHT协同转入植物,增强抑菌活性和植物抗病性。同时诱导SA信号传导途径PRIa/c基因(CHT)的表达量上

调,与生理指标 CHT 及 GLU 活性的测定结果一致;SA 信号传导途径 PRI、PRIa/c (CHT) 基因表达的蛋白均为 SAR 标志蛋白, PRI、PRIa/c 表达量显著上调,有助于 SAR 对烟草青枯病的防御;过敏反应应答机制中的 HINI 基因为相应 Spm(精氨)的蛋白诱导基因,而 Spm 可作为信号参与 HR 反应, HINI基因表达量显著上调,对烟草抗青枯病起一定的辅助作用; ACC Oxidase、EFE26基因编码的蛋白均为乙烯合成途径的关键酶, ACC Oxidase、EFE26表达量显著上调,有利于 ET 信号的传导,从而提高烟草对青枯病的抗性;在一定范围内使烟株处于激活化状态, BTH 处理烟株体内 POD、PPO、PAL、CHT 和 GLU 活性越高, PRI、PRIa/c、HINI、ACC Oxidase 和 EFE26表达量上调越明显,对烟草青枯病的控病效果越好。

(2)接菌后,Si可显著降低烟草青枯病的发病率,其控病效果显著提高;在烟株发病初期可显著提高烟株体内POD、PPO、PAL、CHT和GLU活性;PR2为SAR和植物抗病基因介导反应中的标志基因,PR2基因的表达量显著上调有助于SA信号的传导;烟草茎叶中硅的积累量变化不大,烟草各处理根系硅积累量随着时间的推移均显著增强,其中Si处理根系的硅积累量最大,烟株根系硅含量的增加在烟草青枯病的控病方面起着一定的促进效果,可沉积形成角质-硅双层,使细胞壁加厚,进而阻止病原菌的侵入;在一定范围内Si处理烟株体内POD、PPO、PAL、CHT和GLU活性越高,PR2表达量上调越明显,硅含量增加越显著,对烟草青枯病的控病效果越好。

综上所述, Si 和 BTH 在诱导烟草抗青枯病的途径上存在着差异: 单施 Si 可显著诱导烟草抗青枯病的原因主要是烟草根系硅含量的积累, 使根系的细胞壁加厚, 避免了病原菌对烟草的侵染; 单施 BTH则是通过提高烟草抗性相关基因表达量进而有效的诱导烟草对青枯病产生抗性。 Si 与 BTH 是通过不同的途径诱导烟草抗青枯病。

#### 参考文献

- [1] 王涛,陈泽鹏,万树青,等. 苯并噻二唑(BTH)诱导烟草抗青枯病活性与抗病机理研究[J]. 中国烟草学报,2008,14(增刊1):29-32.
  - WANG Tao, CHEN Zepeng, WAN Shuqing, et al. Studies on resistance induced by benzothiadiazole (BTH) against *Pseudomonas solanacearum* and its resistant mechanism[J]. Acta Tabacaria Sinica, 2008, 14 (Suppl 1):29–32.
- [2] 李林章,谢从华,柳俊. 茄科雷尔氏菌(Ralstonia

- *solanacearum*)分子生物学基础及其致病机制[J]. 中国马铃薯,2005,19(5);290-294.
- LI Linzhang, XIE Conghua, LIU Jun. Molecular biology and pathogenicity of *Ralstonia solanacearum* [J]. Chinese Potato Journal, 2005, 19(5): 290–294.
- [3] Ghareeb H, Bozsó Z, Ott P G, et al. Transcriptome of silicon-induced resistance against *Ralstonia solanacearum* in the silicon non-accumulator tomato implicates priming effect [J]. Physiological and Molecular Plant Pathology, 2011, 75(3):83-89.
- [4] 孔凡玉. 烟草青枯病的综合防治[J]. 烟草科技,2003
   (4):42-43.
   KONG Fanyu. Integrated control of tobacco bacterial wilt disease [J]. Tobacco Science & Technology, 2003 (4):
- [5] 陈泽鹏,王涛,陈伟明,等. 烟草抗青枯病的药剂诱导效应与抑菌增效作用[J]. 烟草科技,2011(1):74-78. CHEN Zepeng, WANG Tao, CHEN Weiming, et al. Inductive effect and synergism of fungicides against tobacco bacterial wilt disease [J]. Tobacco Science & Technology,2011(1):74-78.
- [6] Gozzo F. Systemic acquired resistance in crop protection: from nature to a chemical approach [J]. Journal of Agricultural and Food Chemistry, 2003, 51 (16):4487-4503.
- [7] Soylu S, Baysal Ö, Mine Soylu E. Induction of disease resistance by the plant activator, acibenzolar-S-methyl (ASM), against bacterial canker (*Clavibacter michiganensis* subsp. *michiganensis*) in tomato seedlings [J]. Plant Science, 2003, 165(5): 1069-1075.
- [8] Kohler A, Schwindling S, Conrath U. Benzothiadiazole-induced priming for potentiated responses to pathogen infection, wounding, and infiltration of water into leaves requires the NPR1/NIM1 gene in Arabidopsis [J]. Plant Physiology, 2002, 128 (3):1046-1056.
- [9] 王莉. BTH 诱导黄瓜和番茄对主要病害的抗性研究 [D]. 杨凌:西北农林科技大学,2005.
  WANG Li. Benzothiadiazoie-induced resistance in cucumber and tomato against primary diseases [D]. Yangling: Northwest A&F University, 2005.
- [10] Lawton K A, Friedrich L, Hunt M, et al. Benzothiadiazole induces disease resistance in *Arabidopsis* by activation of the systemic acquired resistance signal transduction pathway[J]. The Plant Journal, 1996, 10(1):71-82.
- [11] Dannon E A, Wydra K. Interaction between silicon amendment, bacterial wilt development and phenotype of *Ralstonia solanacearum* in tomato genotypes [J]. Physiological Molecular Plant Pathology, 2004, 64 (5): 233-243
- [12] Kim S G, Kim K W, Park E W, et al. Silicon-induced

- cell wall fortification of rice leaves; a possible cellular mechanism of enhanced host resistance to blast [J]. Genetics and Resistance, 2002, 92(10):1095-1103.
- [13] Kurabachew H, Wydra K. Induction of systemic resistance and defense-related enzymes after elicitation of resistance by rhizobacteria and silicon application against *Ralstonia solanacearum* in tomato (*Solanum lycopersicum*)[J]. Crop Protection, 2014, 57:1-7.
- [14] Kiirika L M, Stahl F, Wydra K. Phenotypic and molecular characterization of resistance induction by single and combined application of chitosan and silicon in tomato against *Ralstonia Solanacearum* [J]. Physiological and Molecular Plant Pathology, 2013, 81: 1-12.
- [15] 郑世燕,丁伟,杜根平,等. 增施矿质营养对烟草青枯 病的控病效果及其作用机理[J]. 中国农业科学, 2014,47(6):1099-1110. ZHENG Shiyan, DING Wei, DU Genping, et al. Control efficacy and action mechanism of mineral nutrition on
  - efficacy and action mechanism of mineral nutrition on tobacco bacterial wilt [J]. Scientia Agricultura Sinica, 2014,47(6):1099-1110.
- [16] Novozamsky I, Van Eck R, Houba V J G. A rapid determination of silicon in plant material [J]. Communications in Soil Science and Plant Analysis, 1984, 15(3):205-211.
- [17] 阚光锋,张广民,房保海,等. 烟草野火病菌(Pseudomonas syringae pv. tabaci)对烟草细胞内5种防御酶系统的影响[J]. 山东农业大学学报(自然科学版),2002,33(1):28-31.

  KAN Guangfeng, ZHANG Guangmin, FANG Baohai, et al. The effects of Pseudomonas syringae pv. tabaci on the
  - al. The effects of *Pseudomonas syringae* pv. *tabaci* on the defendant enzymes in tobacco cells [J]. Journal of Shandong Agricultural University (Natural Science), 2002, 33(1):28-31.
- [18] 李鑫. 矿质元素调控烟草抗 PVY\*生理生化及分子机

- 制研究[D]. 沈阳:沈阳农业大学,2009:51-55.
- LI Xin. The physiological, biochemical and molecular mechanism of mineral elements regulating to bacco resistant to PVY $^{x}$  [D]. Shenyang: Shenyang Agricultural University, 2009:51–55.
- [19] 张国良,丁原,王清清,等. 硅对水稻几丁质酶和 β-1,3-葡聚糖酶活性的影响及其与抗纹枯病的关系 [J]. 植物营养与肥料学报,2010,16(3):598-604. ZHANG Guoliang, DING Yuan, WANG Qingqing, et al. Effects of silicon on chitinase and β-1, 3-glucanase activities of rice infected by *Rhizoctonia solani* and its relation to resistance [J]. Plant Nutrition and Fertilizer Science, 2010, 16(3):598-604.
- [20] Dang F F, Wang Y N, She J J, et al. Overexpression of CaWRKY27, a subgroup lle WRKY transcription factor of Capsicum annuum, positively regulates tobacco resistance to Ralstonia solanacearum infection [J]. Physiologia Plantarum, 2014, 150(3): 397-411.
- [21] 刘爱荣,陈双臣,陈凯,等. 哈茨木霉对黄瓜尖孢镰刀 菌的抑制作用和抗性相关基因表达[J]. 植物保护学 报,2010,37(3):249-254. LIU Airong, CHEN Shuangchen, CHEN Kai, et al. Antagonism effect of *Trichoderma harzianum* against *Fusarium oxysporum* on cucumber and related genes expression analysis[J]. Journal of Plant Protection, 2010,37(3):249-254.
- [22] Livak K J, Schmittgen T D. Analysis of relative gene expression data using real-time quantitative PCR and the 2-AACT method[J]. Methods, 2001, 25(4): 402-408.
- [23] GB/T 23222—2008 烟草病虫害分级及调查方法[S]. GB/T 23222—2008 Grade and investigation method of tobacco diseases and insect pests[S].

责任编辑 董志坚